

I-37 連続ばかりの弾塑性安定問題の解法

九州大学 正員 横木 武
学生員 ○林田紀雄

1 緒言

本研究は、骨組構造物の弾塑性安定問題の汎用解法の確立を企図したものである。すなはち、板構造のモデル化の一手法として提案された“Newmark's plate analog”の概念を拡張して部材が剛棒と弾塑性ヒンジとで構成される beam analog なるもの (bar-hinge system) に置き換えて骨組構造物の弾塑性安定問題の基礎式を構築する。ついで、さらに基礎式を連続ばかりに適用して数値計算を行ひ、その弾塑性安定上の特性を把握するものである。

2 基礎式の説明

本法では、図-1 に示すように部材を適当な面間に分割し、分割点を弾塑性ヒンジに、また分割点の面間に剛棒に置き換えてモデル化し、このようにモデル化したものを bar-hinge system と名付ける。このとき、bar-hinge system は次のようないくつかの性質を持つものと仮定する。

(1) 剛棒は重さがなく変形しない。

(2) 荷重はヒンジ部に集中して作用する。

(3) 弹塑性ヒンジの部材軸方向の寸法は零である。

(4) 応力とひずみはヒンジ部のみ生じ、それらの値はヒンジを介して両区間の平均値と解釈する。

軸力 N が一定の場合には、剛棒 $i(i+1)$ に歓するモーメントの釣合式が次のようになられる。

$$V_{i(i+1)} = (M_{i+1} - M_i)/S - N(w_{i+1} - w_i)/S \quad \dots \dots \dots (1)$$

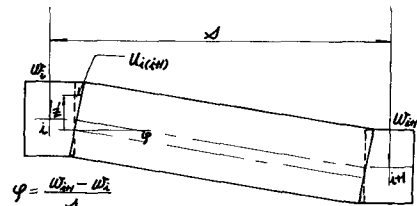
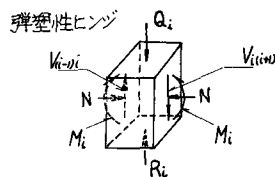
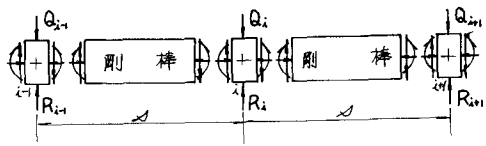
ここで、 $V_{i(i+1)}$ ：剛棒 $i(i+1)$ のせん断力、 M ：ヒンジににおけるモーメント、 w ：ヒンジのたわみ。 S ：剛棒の長さ、 N ：ヒンジのたわみ。

また、ヒンジににおける力の釣合式は、

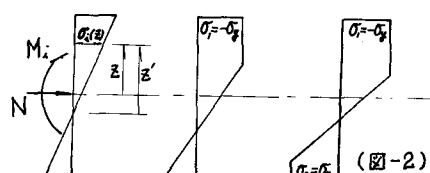
$$V_{i(i+1)} - V_{i(i+1)} = Q_i - R_i$$

ここで、 Q_i ：ヒンジ i に作用する荷重、 R_i ：中間支承による反力。
上式に式(1)を代入すれば、

$$M_{i+1} - 2M_i + M_{i-1} - N(w_{i+1} - 2w_i + w_{i-1}) = -S(Q_i - R_i) \quad \dots \dots \dots (2)$$



(図-1)



(1) 弹性状態 (2) 第1弾塑性状態 (3) 第2弾塑性状態

一方、ヒンジイのひずみは、 $E_h = (U_{hmax} - U_{hmin})/S$ 。ここに、 U_{hmax} 、 U_{hmin} ：(h-1)区間におけるひずみの最大値と最小値である。

$\rightarrow Z'$, $U_{(i-1)i} = (w_i - w_{i-1})Z/A$, $U_{i(i+1)} = (w_{i+1} - w_i)Z/A$ から結局 Z' と Z は次式で等しい。

$$\varepsilon_i = (w_{i+1} - 2w_i + w_{i-1}) \frac{z}{\sqrt{s}} = -\phi_i z'$$

→ 2) 1 = $\phi_i = (W_{i+1} - 2W_i + W_{i-1}) / \Delta^2$ (差分)。2': 断面の中立軸からの位置。

$\sigma_i - E_i$ の関係と LZ , Jeek の理想塑性体を仮定する。 L が α とき、応力 $\sigma_i(\alpha)$ は、

$$\delta_i(z) = \begin{cases} E(w_{i+1} - 2w_i + w_{i-1})z/s^2 & \dots [弹性域] \\ \pm \delta_s & \dots [塑性域] \end{cases}$$

但し、 E : ヤング率、 σ_y : 降伏応力。

部材断面を矩形 ($A = b \times h$) とするとき、断面が弾性状態、第1弾塑性状態及び第2弾塑性状態の各応力状態(図-2 参照)に対するモーメント M 上たわみ δ との関係が、次のように算定される(但し、 Z : 断面の中心軸からの距離)。なお、第1・第2弾塑性状態における M - δ 曲線は非線形となるゆえ、エネルギー等価条件を用いて2本の近似直線(図-3)に置換し、演算の簡略化を行なった。

$$M_i = \delta_i - \beta_i (y_{in} - 2y_i + y_{i-1}) \quad \dots \dots \dots (4)$$

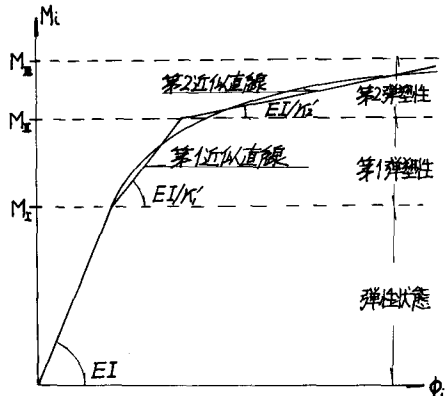
但し、

$$\delta_{\lambda} = \begin{cases} 0 \\ \pm (1 - 1/\kappa'_r) m_r \\ \pm \{(1 - \kappa_r/\kappa'_r) m_{rr} + (\kappa_r/\kappa'_r)(1 - 1/\kappa_r) m_r\} \end{cases}$$

これに、 $m_i = M_i/Nh$ であり、また M_x, M_y, M_{xy} は弾性状態、第1弾塑性状態、第2弾塑性状態の限界モーメント M_x, M_y, M_{xy} を無次元化したもので、 $M_x = (O_y/O_0 - 1)/6, M_y = (2O_x/O_y + 1)M_x, M_{xy} = (O_y/O_0)(1 - O_x^2/O_y^2)/4$ である。 X_1, Y_1' は第1・第2近似直線の勾配を表わし、エネルギー一軸直条件より次の式とく表わされる。

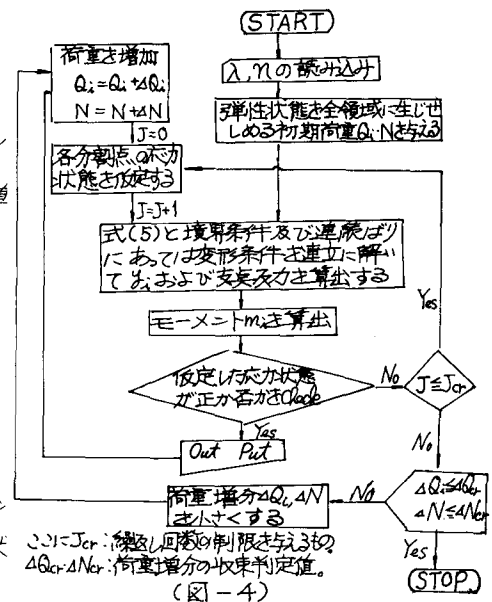
$$\begin{aligned}K_1' &= (m_{\pi}^2 - m_{\Xi}^2 + 2m_{\Xi}/3) / (m_{\Xi} - m_{\pi})^2, \quad K_1' = K_1 + 1 \\K_2' &= \left\{ m_{\pi}^2 - m_{\Xi}^2 - K(m_{\Xi}^2 - m_{\pi}^2 + 2m_{\Xi}/3 \right. \\&\quad \left. + m_{\Xi}\sqrt{1 - m_{\Xi}/m_{\Xi}}/3\sqrt{3(3m_{\Xi}^2/(m_{\Xi}^2 - m_{\pi}^2))}/(4G_F)\right\} / (m_{\Xi}^2 - m_{\pi}^2)^2 \\K_2' &= K_2 + K_1'\end{aligned}$$

また、 $y_i = w_i / R$ 、 $b_0 = N/A$ 、 n : 分割数、 $s = l/n$ 、 λ : 繊長比、 l : 部材長、 $\alpha = \sqrt{\rho_A \lambda^2 / E}$ 、 σ_i の複号: プラス \rightarrow ミスの正負値と対応する (するから)、等 1 等 2 強塑性状態の場合にはモーメントの正負値を仮定する必要がある。



(-3)

$$\beta_i = \begin{cases} n^2/d^2 & \cdots \text{[ヒンジガ弾性状態]} \\ n^2/(K_1 d^2) & \cdots \text{[} \Rightarrow \text{ 第1弾性状態]} \\ n^2/(K_2 d^2) & \cdots \text{[} \Rightarrow \text{ 第2弾性状態]} \end{cases}$$



(图-4)

以上より、式(2)を無次元化してえらぶ

$$m_{i+1} - 2m_i + m_{i-1} - (y_{i+1} - 2y_i + y_{i-1}) = -\frac{\sqrt{3}\lambda}{6n} \left(\frac{R_i}{N} - \frac{P_i}{N} \right)$$

なま式で、式(4)に代入すれば本筋の基礎式が得られ次のとくである。

$$\left. \begin{aligned} A_{i-2} \cdot y_{i-2} + A_{i-1} \cdot y_{i-1} + A_i \cdot y_i + A_{i+1} \cdot y_{i+1} + A_{i+2} \cdot y_{i+2} - \frac{\sqrt{3}\lambda}{6n} R_i &= B_i \\ \text{但し}, A_{i-2} = \beta_{i-1}, A_{i-1} = 2(\beta_{i-1} + \beta_i) - 1 \\ A_i = -(\beta_{i-1} + 4\beta_i + \beta_{i+1}) + 2, A_{i+1} = 2(\beta_i + \beta_{i+1}) - 1 \\ A_{i+2} = -\beta_{i+1}, R_i = R_i/N, B_i = -\frac{\sqrt{3}\lambda}{6n} \frac{R_i}{N} - (P_{i-1} - 2P_i + P_{i+1}) \end{aligned} \right\} \quad (5)$$

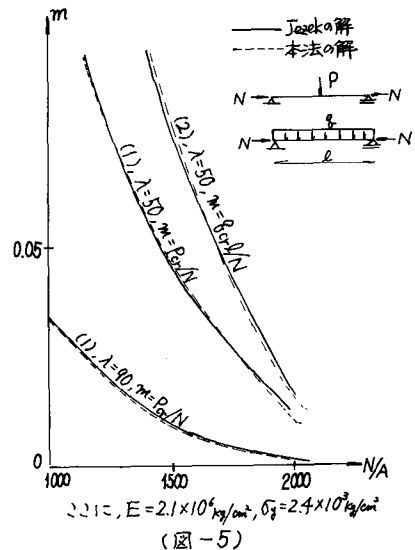
式(5)を各ヒンジ点でつけて求め、それらと境界条件及び連続ばりにあつては変形条件を連立に解くことによつて、はりの弾塑性安定にあする限界荷重が算定されることは可能であるが、その演算プログラムをフローチャートに示せば図-4のとおりである。

3 精度の吟味

沿材の分割数と精度の関係を3つの具体例(連続ばりに、軸力の代に横荷重としてそれを等分布荷重、中央集中荷重、非対称集中荷重を受ける場合)につけて検討した結果、 $n=20$ 程度で十分な精度が得られることが確かめられた。すなはち、Jezekの厳密解がえらんであるが、連続ばりに軸力の代に横荷重として(1)中央集中荷重(2)等分布荷重を受けの場合につけて、Jezekの厳密解と本法による結果を比較すれば図-5に示すとおりである。図より、本法が厳密解と比較的よく一致するといがゆがり本法の妥当性が十分に立証された。

4 連続ばりの弾塑性安定

連続ばりの算例として、2・3スパン連続ばりに等分布荷重が作用する場合および、スパン中央に



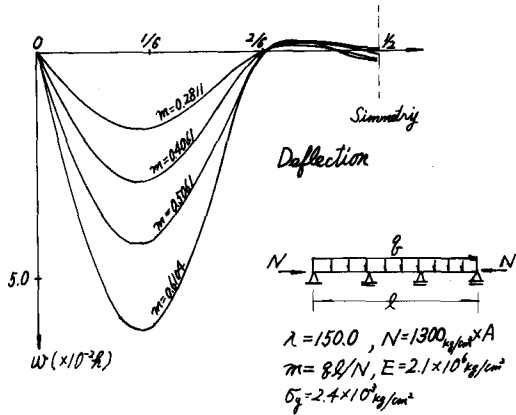
構造形式と 荷重状態	N → → N				N → → N				N → → N			
	$m = 8l/N$		$m = P/N$		$m = 8l/N$		$m = P/N$		$m = 8l/N$		$m = P/N$	
軸力 (N/A)	$m = 8l/N$	$m = P/N$										
	100	180	100	180	150	270	150	270	150	270	150	270
1900	0.10946	0.02721	0.03339	0.00773	0.14775	0.02292	0.02728	0.00417				
1700	0.19100	0.04999	0.05663	0.01485	0.28775	0.04458	0.04970	0.00813				
1500	0.27400	0.09515	0.07828	0.02897	0.43775	0.08053	0.07398	0.01550				
1300	0.36700	0.15100	0.11310	0.04641	0.6104	0.17303	0.10290	0.03280				
1100	0.48000	0.22000	0.15110	0.06815	—	0.30646	0.14519	0.05431				

$$E = 2.1 \times 10^6 \text{ kg/cm}^2$$

$$G = 2.4 \times 10^3 \text{ kg/cm}^2$$

(表-1)

集中荷重が作用する場合について、極限状態における軸力と横荷重の関係を求めれば表-1のとくわざある。また、荷重増加の各段階におけるモーメント、ひずみの変化の一例を示せば図-6のとおりである。なお、2スパン連続ばかりに剛接し左右のスパンをきりはなし、中間支承を固定とした部の支点をヒンジとして1スパンばかりの場合に全く同じ状態であることはいうまでもない。3スパン連続ばかりは、各スパンをきりはなし、中間支承を固定とし、それを1スパンばかり（両端スパンは一端固定・他端ヒンジ、中央スパンは両端固定）として計算しておこう。小さい限界荷重を与える一端固定・他端ヒンジの限界荷重と、連続ばかりの限界荷重とがほぼ一致するといえよ。



5. 結語

本研究は、bar hinge system により部材をモデル化するとによつて、一般の数学的手段によつて導かれた弾塑性安定問題の基礎差分式を、力学的見地から説明すると可能ならしめたものである。基礎式の説明にあたつては軸力 N を一定としつつ、部材が直角柱が結合しつつ、あるいは中間軸荷重が作用する場合にと、必ずしも N が一定となる場合についても簡単に实用計算が可能である。また、変形の影響を考慮し、あたつては、 M - ϕ 曲線に忠実に沿つてより厳密な解析も可能である。さらに、ラーメンや、数学的取扱いの複雑な複合構造やシェル構造、および複合構造などの弾塑性安定問題にも本法が適用でき、これらにつけて逐次発表の予定である。

(参考文献)

- 1) A. Ang ; The development of a distribution procedure for analysis of continuous rectangular plates, American Civil Engineering Studies - Structure Research Report 176, May 1959.

